



## SERVICE DOCUMENTATIE

voor de ontvanger

### 3032A

1956. Voor voeding uit wisselstroomnetten.

#### ALGEMEEN

##### Knoppen

Van links naar rechts:  
Lage tonen regelaar  
Volumeregelaar  
Afstemming  
Hoge tonen regelaar

##### Druktoetsen

Van links naar rechts:  
Netschakelaar  
P.U.

L.G. 1150 - 2000 m ( 260 - 150 kHz)  
M.G. 186 - 578 m ( 620 - 519 kHz)  
K.G. 24,3 - 51,7 m ( 12,3 - 5,8 MHz)  
F.M. 3 - 3,43 m ( 100 - 87,5 MHz)

##### Buizen

B1 - ECC85	F6 - EL84
B2 - ECH81	B7 - E280
F3 - EF89	B8 - EM80
B4 - EF85	B9 - EL86
B5 - EABC80	

##### Bandbreedte (A.M.)

De M.F. bandbreedte (1 : 10) gemeten vanaf g1 - B2 bedraagt ongeveer 10 kHz.  
De overall bandbreedte (1:10) gemeten vanaf de antennebus bedraagt bij 1000 kHz ongeveer 9 kHz.

##### M.F.

A.M. - 452 kHz  
F.M. - 10,7 MHz

##### Netspanningen

110-127-145-165-220-245V

##### Verbruik

ca. 70 W

##### Luidsprekers

9748 A  
AD 3500BMS (2x)

##### Afmetingen

Breedte - 65,4 cm  
Hoogte - 39,0 cm  
Diepte - 25,5 cm

##### Schaalverlichtingslampjes

2x 8024 N/778

### De eindtrap

Het vereenvoudigd principeschema is weergegeven in fig.2.

In het geval geen signaal aan  $g_1$  - B6 wordt toegevoerd, ontstaat de negatieve roosterspanning voor de buis B9 over de weerstand R42. De negatieve roosterspanning voor buis B6 ontstaat over R43 en C70. Aangezien de beide buizen voor gelijkstroom in serie staan, is de anodegelijkstroom voor beide buizen gelijk. De anodespanning van B6 wordt toegevoerd via de R1 van B9.

Wordt via de stop weerstand R51 een L.F. wisselspanning aan  $g_1$ -B6 toegevoerd en wordt verondersteld, dat deze spanning in positieve richting toeneemt, dan zal de Ia van B6 gaan stijgen, Hierdoor stijgt de spanningsval over R42 en punt A zal dus sterker negatief worden t.o.v. punt B (zie fig.2).

Als dus de stuurroosterspanning van B6 in positieve richting toeneemt (zie fig.1a) neemt de stuurroosterspanning van B9 in negatieve richting toe (fig.1b).

De stuurroosterspanningen van B6 en B9 zijn dus in tegenfase. Neemt de anodestroom door B6 toe (fig.1c), dan neemt de anodestroom door B9 af (fig. 1d). De anodewisselstromen van B6 en B9 zijn dus in punt B tegengesteld gericht.

Aangezien de som der stromen naar punt B gelijk moet zijn aan de som der stromen vanaf punt B, zal dus door de luidsprekerspoel en C69 een stroom gaan vloeien, welke gelijk is aan de som van de anodewisselstromen van B6 en B9 (dus  $I_1 + I_2$ ) zie fig.1e. C69 blokkeert de gelijkspanning.

### HOGE TONENREGELING

Via het hoogdoorlaatfilter C71, R37 - R38 wordt de uitgangsspanning teruggevoerd naar het stuurrooster van B6 door middel van C62 welke voor de hoge frequenties een lage impedantie vormt.

In de bovenste stand van de potentiometer R37 - R38 zal maximum tegenkoppeling ontstaan, dus minimale versterking voor de hoge frequenties. De tegenkoppelspanning zal afnemen naarmate de looper naar beneden bewogen wordt.

De versterking voor de hoge frequentie neemt dus toe.

### LAGE TONENREGELING

Via het laagdoorlaatfilter R44, C65 wordt de uitgangsspanning toegevoerd aan het hoogdoorlaatfilter, gevormd door C60, R36 en C61, R34 - R35, R37 - R38.

In de bovenste stand van de potentiometer R34-R35 (fig.3) worden C60 en C61 kortgesloten en wordt de tegenkoppelspanning via R33 aan  $g_1$ -B6 toegevoerd.

De versterking voor de lage frequenties is dus minimaal. Via C61 wordt een extra spanning op het stuurrooster gebracht, teneinde het verlies aan versterking te compenseren. In de onderste stand van de potentiometer (fig.4) wordt C62 kortgesloten. De tegenkoppelspanning wordt dan via het hoogdoorlaatfilter aan  $g_1$ -B6 toegevoerd, zodat minimale tegenkoppelspanning ontstaat en de versterking voor de lage frequenties maximaal is.

De impedantie van C60, C61 is klein t.o.v. de potentiometer R34, R35 zodat deze laatste dus kan worden verwaarloosd.

HET AFREGELLEN VAN DE ONTVANGERA.M. GedeelteAlgemeen

Volumeregelaar op maximum.

Wisselspanningsmeter aansluiten op de extra luidspreker aansluitingen.

Trimpunt 1 ligt geheel links op stationsschaal.

Trimpunt 2 ligt 29 mm rechts van trimpunt 1.

Trimpunt 3 ligt 150 mm rechts van trimpunt 1.

Alvorens af te regelen, wijzer instellen op trimpunt 1, bij minimum-stand van de afstemcondensator.

Kernen der M.F. bandfilters zover mogelijk uitdraaien.

Indien niet anders aangegeven, worden de signalen via een normale kunstantenne aan de antennebus toegevoerd.

	Golf- bereik	Trim- punt	Signaal	Afregelen	Aanwijzing	
M.F. bandfilters	M.G.	1	452 kHz via 33.000 pF aan g1-B2	S33, S32 S28, S29 S32	Max. uit- gangsspan- ning	
H.F. en oscilla- tor kringen	M.G.	3	610 kHz	S25, S6	Max. uitg. spanning	Her- ha- len
		2	1500 kHz	C33, C10		
	L.G.	3	169,5 kHz	C19, S7	Max. uitg. spanning	Her- ha- len
	K.G.	3	6,38 MHz	S23, S5		
		2	11,73 MHz	C32, C9		

M.F. Sper- en zuigkringen

Kernen van S11 en S12 zover mogelijk uitdraaien.

S7 kortsluiten.

Wijzer geheel rechts van de schaal.

1. Signaal 452 kHz aan antennebus.
2. S11 afregelen op minimum uitgangsspanning.
3. Kern van S11,  $\frac{1}{4}$  slag doordraaien.
4. S12 afregelen op minimum uitgangsspanning.
5. S11 natrimmen op minimum uitgangsspanning.

F.M. GedeelteAfregelen met behulp van een A.M. service oscillator.Algemeen

Diodevoltmeter (D.V.) via een weerstand van 100 k $\Omega$  aansluiten over R23.

De toegevoerde signalen zijn ongemoduleerd.

Tijdens het afregelen dient de uitgangsspanning van de service-oscillator dusdanig te worden ingesteld, dat de diodevoltmeter (D.V.) een spanning van ca. 8 V<sub>q1</sub> aanwijst.

Kernen van S21, S27, S31 en S36 zover mogelijk uitdraaien.

	Stand stations-wijzer	Signaal	Service oscillator aansluiten	Afregelen	Aanwijzing
M.F. Band- fil- ters	87,5 MHz	10,7 MHz	via 1500 pF aan g1 - B4	S34	Max. D.V.
				* S36 - 36a	O D.V.
			via 1500 pF aan g1-B3	** S30, S31	Max. D.V.
			via 1500 pF aan g1-B2	S26, S27	Max. D.V.
			tussen antenne- bus en aarde	S58, S21	Max. D.V.

\* Sluit parallel aan R23 twee in serie geschakelde weerstanden van 220 k $\Omega$  aan.

Sluit de D.V. aan tussen het knooppunt van deze weerstanden en het knooppunt R22, C52 (Zie principeschema).

\*\* Verwijder de weerstanden van 220 k $\Omega$  en sluit de D.V. aan over R23.

Kernen van S55, S56 - S57 en trimmers C86, C89 zover mogelijk uitdraaien..

	Stand stations-wijzer	Signaal	Service oscillator aansluiten	Afregelen	Aanw.
H.F. kringen	87,5 MHz	87,5 MHz	tussen antennebus F.M. en aarde $\lrcorner \perp$	S55	max.D.V. 2e piek
				S56,S57	max.D.V.
	100 MHz	100 MHz	tussen antennebus F.M. en aarde $\lrcorner \perp$	C86	max. D.V. 1e piek
				C89	max.D.V.

#### Aandrijfsnaren

De lengte en de loop van de aandrijfsnaren zijn gegeven in fig.5.  
De variabele condensatoren zijn hierbij in de maximum stand gebracht.

JG/SR

LIJST VAN ONDERDELEN

Bij bestelling steeds vermelden:

1. Codenummer en kleur
2. Omschrijving
3. Typerummer van het app.

	Omschrijving	Code-nummer
	Kast	A3 004 74
	Druktoets	A3 417 61.0
	Grote knop	A3 752 33.0
	Kleine knop voor toonregeling	A3 752 69.0
	Veer in grote knop	A3 522 08.0
	Bladveer voor bevestiging spoel	A3 651 89.0
	Trekveer in aandrijfsnaar	A3 646 47.0
	Tule voor schaalbevestiging	P5 420 03/08
	Spiraalveer om as drukknopunit	A3 651 16.0
	Trekveer in drukknopunit	49 947 89.0
	Drukveer in drukknopunit	A3 644 85.0
	Netschakelaar	B1 590 18.0
	Trekveer voor F.M. schakelaar	A3 646 90.0
	Trommel voor aandrijving F.M. afstemming	P4 505 45/02
	Kap voor netschakelaar	P5 280 25/08
	Kap voor stoker dipoclantenne	P5 280 26/04
	Veer voor toonindicatie	A3 759 25.0
	Trekveer netschakelaar	A3 646 14
	Trekveer omschak. AM/FM (onder)	89 312 10.3
	Trekveer omschak. AM/FM (boven)	A3 646 02.0
	Spanningsomschakelaar	A3 228 85.0
	Inbouw contrasteker voor extra luidspreker	P5 280 26/04
	Stationsnamenschaal (Noord)	A3 807 93
		JG/SR

S1			C11	33 pF	A9 999 04/33E
S2			C12	380 pF	A9 999 05/200E
S3		A3 141 37.5		par {	A9 999 05/180E
S4			C13	6,8 pF	A9 999 04/6E8
S5		A9 999 21/24-52m	C14	}Zie spoelen, voir bobines	
S6			C15	}see coils, Siehe Spulen	
S7		A3 117 83.0	C16	47 pF	A9 999 04/47E
S11			C17	270 pF	A9 999 05/270E
S12			C18	100 pF	A9 999 04/100E
C14	240 pF	A3 119 70.0	C19	100 pF	A9 999 07/20-100E
C15	5,6 pF		C23	10000 pF	A9 999 04/10K
			C24	470 pF	A9 999 04/470E
S21			C25	33000 pF	A9 999 06/33K
C31	15 pF	A3 127 83.0	C26	10000 pF	A9 999 04/10K
S22			C27	82 pF	A9 999 04/82E
S23		A9 999 23/24-52m	C29	2200 pF	A9 999 04/2K2
S24			C30	4700 pF	A9 999 06/4K7
S25		A3 125 99.0	C31	}Zie spoelen,	
			C34	}see coils,	
S26			C35	}voir bobines,	
S27			C36	}Siehe Spulen.	
C34	33 pF	A9 999 26/10.7	C37	)	
C35	33 pF		C28	1800 pF	A9 999 06/1K8
			C32	30 pF	A9 999 08/30E
S28			C33	22 pF	A9 999 08/22E
S29			C38	4700 pF	A9 999 04/4K7
C36	110 pF	A9 999 25/452	C39	560 pF	A9 999 04/560E
C37	195 pF		C40	4700 pF	A9 999 04/4K7
			C41	6800 pF	A9 999 04/6K8
S30			C42	}Zie spoelen,	
S31			C43	}see coils,	
C42	33 pF	A9 999 26/10.7	C44	}voir bobines,	
C43	33 pF		C45	}Siehe Spulen.	
S32			C46	33 pF	A9 999 04/33E
S33			C47	47 pF	A9 999 04/47E
C44	195 pF	A9 999 25/452	C48	4700 pF	A9 999 04/4K7
C45	195 pF		C49	10000 pF	A9 999 04/10K
S34			C50	6800 pF	A9 999 04/6K8
S35			C51	4700 pF	A9 999 04/4K7
S36			C52	1000 pF	A9 999 06/1K
S36a		A3 127 01.0	C53	}Zie spoelen, voir bobines	
C53	22 pF			}see coils, Siehe Spulen	
C72	47 pF		C54	4700 pF	A9 999 04/4K7
S41			C55	4700 pF	A9 999 04/4K7
S42		WE 110 61.0	C56	10 $\mu$ F	A9 999 09/E10
			C57	10000 pF	A9 999 04/10K
C1	50 $\mu$ F	A9 999 13/M	C58	15000 pF	A9 999 06/15K
C1a	50 $\mu$ F	50+50+50	C59	22000 pF	A9 999 06/22K
C2	50 $\mu$ F		C60	2200 pF	A9 999 06/2K2
			C61	2200 pF	A9 999 06/2K2
C3		A9 001 98.0	C62	6800 pF	A9 999 06/6K8
C4			C64	68000 pF	A9 999 06/68K
C5	68 pF	A9 999 04/68E	C65	2200 pF	A9 999 06/2K2
C6	68 pF	A9 999 04/68E	C66	10000 pF	A9 999 04/10K
C9	22 pF	A9 999 08/22E	C67	3300 pF	A9 999 05/3K3
C10	12 pF	A9 999 08/10E			

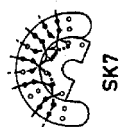
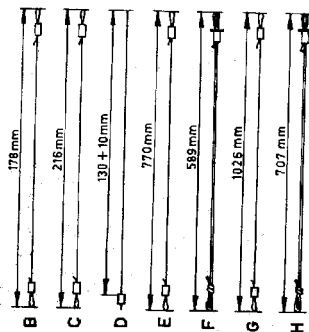
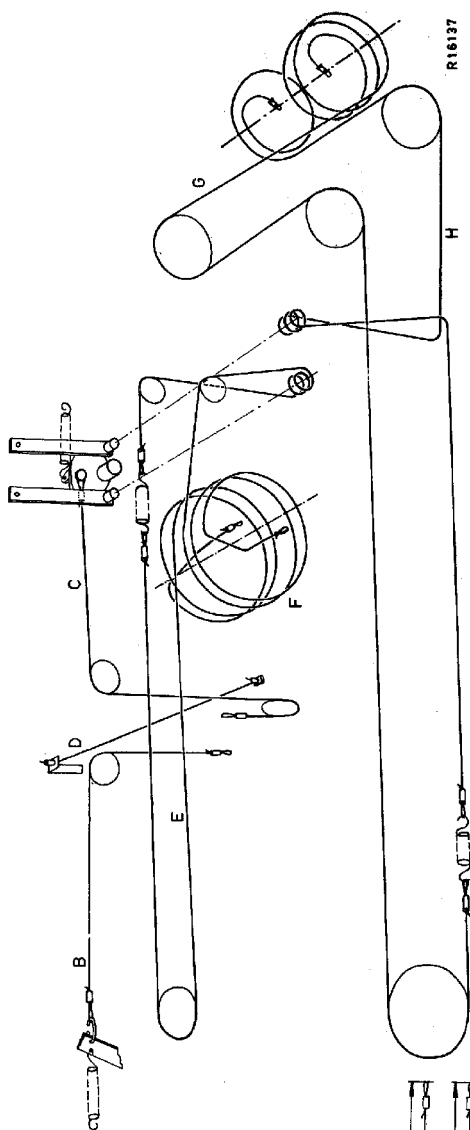
C68	130 pF	par	A9 999 05/110E A9 999 05/24E	R31	10 $\Omega$	A9 999 00/10E
C69	8 $\mu$ F		A9 999 11/L8	R32	0,1 M $\Omega$	A9 999 00/100K
C70	100 $\mu$ F		A9 999 10/C10C	R33	0,47 M $\Omega$	A9 999 00/470K
C71	680 pF		A9 999 04/680E	R34	1,6 M $\Omega$	B1 639 48.0
C72	( Zie spoelen, voir bobines see coils, Siehe Spulen )			R35	0,4 M $\Omega$	A9 999 00/470K
C73	10000 pF		A9 999 04/10K	R36	0,47 M $\Omega$	B1 639 49.0
C75	0,1 $\mu$ F		A9 999 06/100K	R37	0,45 M $\Omega$	
				R38	50000 $\Omega$	
R1	260 $\Omega$		A9 999 00/270E	R39	0,1 M $\Omega$	A9 999 00/100K
R2	600 $\Omega$	2x	A9 379 78.0	R40	1000 $\Omega$	A9 999 00/1K
R3	33000 $\Omega$		A9 999 00/33K	R41	0,1 M $\Omega$	A9 999 00/100K
R5	1,2 M $\Omega$		A9 999 00/1M2	R42	270 $\Omega$	B1 636 36.0
R6	39000 $\Omega$		A9 999 00/39K	R43	180 $\Omega$	A9 999 00/180E
R7	150 $\Omega$		A9 999 00/150E	R44	47000 $\Omega$	A9 999 00/47K
R8	47000 $\Omega$		A9 999 00/47K	R45	10 $\Omega$	A9 999 00/10E
R9	33000 $\Omega$		A9 999 00/33K	R46	100 $\Omega$	B1 636 25.0
R10	1000 $\Omega$		B1 636 38.0	R47	3,9 M $\Omega$	A9 999 00/3M9
R11	10000 $\Omega$		A9 999 00/10K	R48	12 M $\Omega$	A9 999 00/12M
R14	2200 $\Omega$		B1 636 51.0	R49	0,47 M $\Omega$	A9 999 00/470K
R15	82000 $\Omega$		A9 999 00/82K	R50	56 $\Omega$	48 767 05/56E
R16	2200 $\Omega$		B1 636 51.0	R51	1000 $\Omega$	A9 999 00/1K
R17	0,22 M $\Omega$		A9 999 00/220K	R52	0,68 M $\Omega$	A9 999 00/680K
R18	1,8 M $\Omega$		A9 999 00/1M8	R53	1,8 M $\Omega$	A9 999 00/1M8
R19	0,1 M $\Omega$		A9 999 00/100K	R54	0,1 M $\Omega$	A9 999 00/100K
R20	0,12 M $\Omega$		A9 999 00/120K	R55	3900 $\Omega$	A9 999 00/3K9
R21	15000 $\Omega$		A9 999 00/15K	R56	20 $\Omega$	A9 999 00/20E
R22	47000 $\Omega$		A9 999 00/47K	R59	22 M $\Omega$	A9 999 00/22M
R23	10000 $\Omega$		A9 999 00/10K	R60	180 $\Omega$	A9 999 00/180E
R24	0,8 M $\Omega$			R61	27 $\Omega$	A9 999 00/27E
R25	0,1 M $\Omega$		B1 638 19.0	R62	1 M $\Omega$	A9 999 00/1M
R25a	0,1 M $\Omega$			R63	2200 $\Omega$	A9 999 00/2K2
R26	33000 $\Omega$		A9 999 00/33K	R64	10000 $\Omega$	A9 999 00/10K
R27	68 $\Omega$		A9 999 00/68E	R65	1500 $\Omega$	B1 636 43.0
R28	18 M $\Omega$		A9 999 00/18M	R67	0,12 M $\Omega$	A9 999 00/120K
R29	0,22 M $\Omega$		A9 999 00/220K	Z2	10 A	A9 999 74/10000
R30	100 $\Omega$		A9 999 00/100E	Z3	63 mA	A9 999 74/63
				Z4	315 mA	A9 999 74/315
						JG/SR





Fig.1





SK7



SK6



SK5



SK3



SK2

R16139

Fig.5



S.	3	1.	2.	19.	J.	D. B.	H. G. C.	A.	18	K.	F. E.	
C.	69	71	6062 65.	70 5964.	28.	29	30572758665.54525556 51.	17332768449.012.	419.69.016.	24.	13.	18382226
R. 34. 35	44.54.36	55.93	56532562524515229.04.42.	4304.326.	28.09.10.	23.27302248	20.21.32.	31.1050647	3007354.155719	9.60.	8.455.7	67.
												2. 10. 1.
												20. 65. 1.46. 2.
												50. 37. 38.

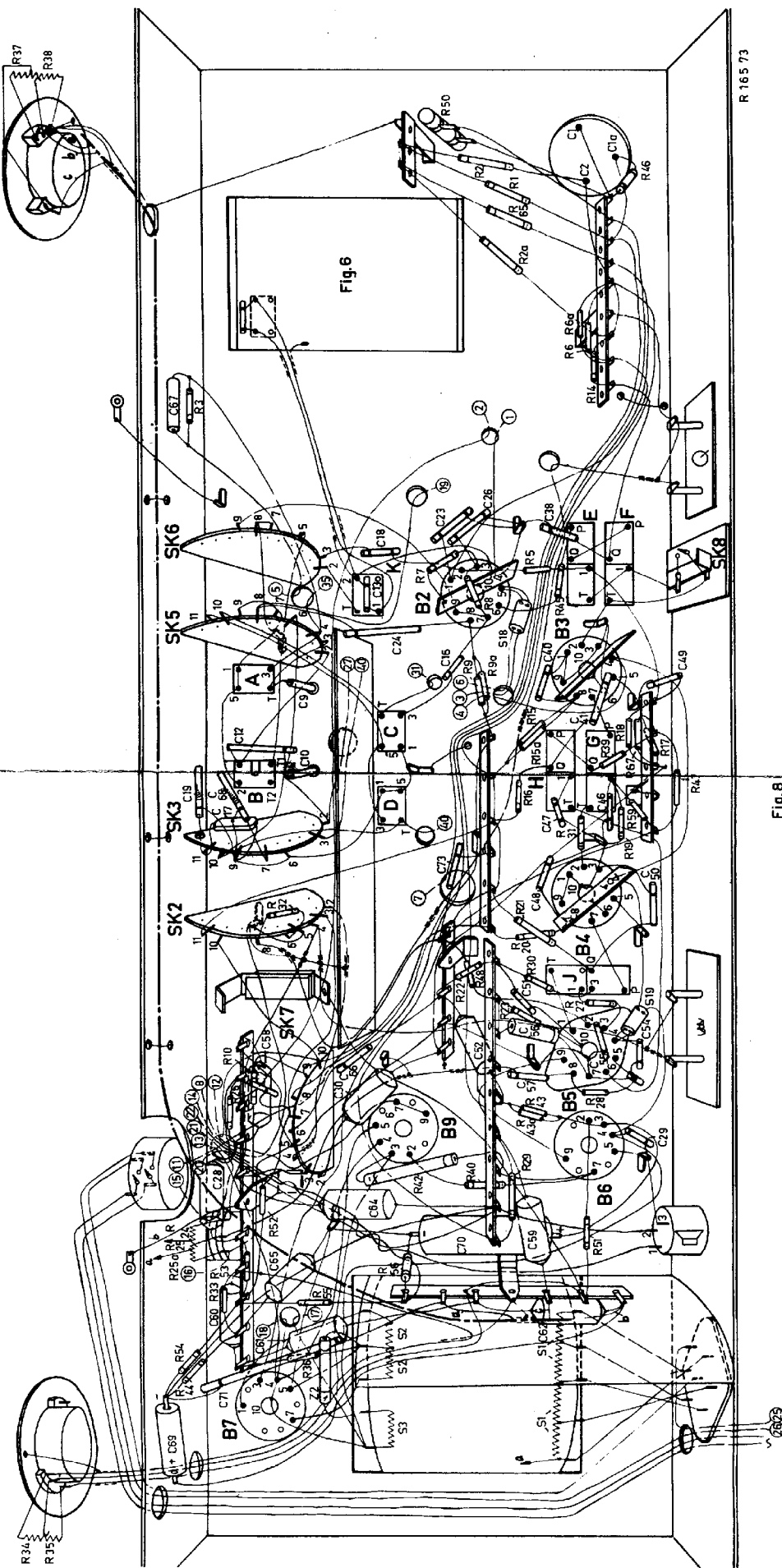
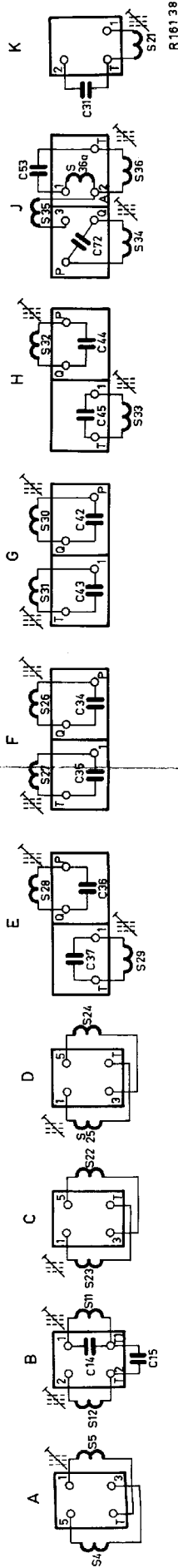


Fig. 8



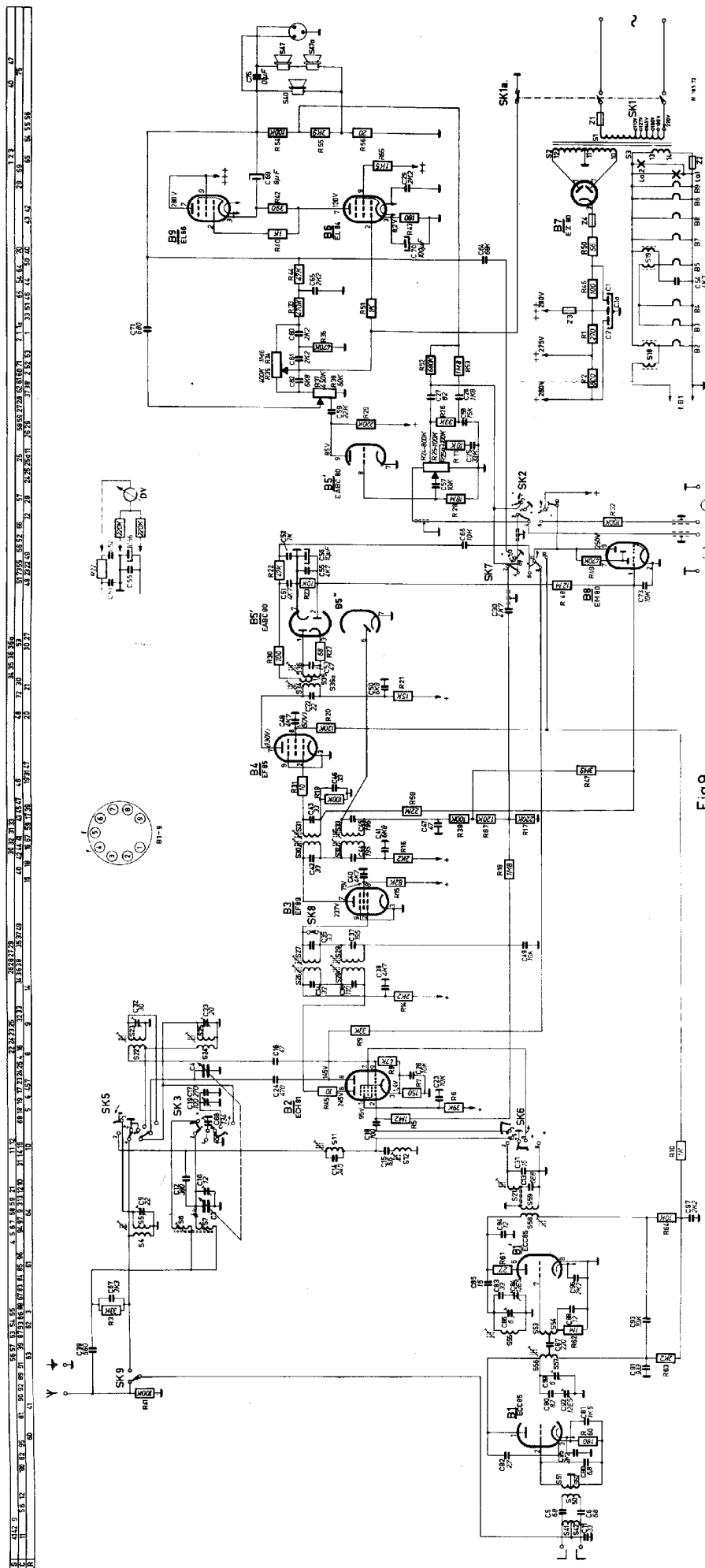


Fig 9

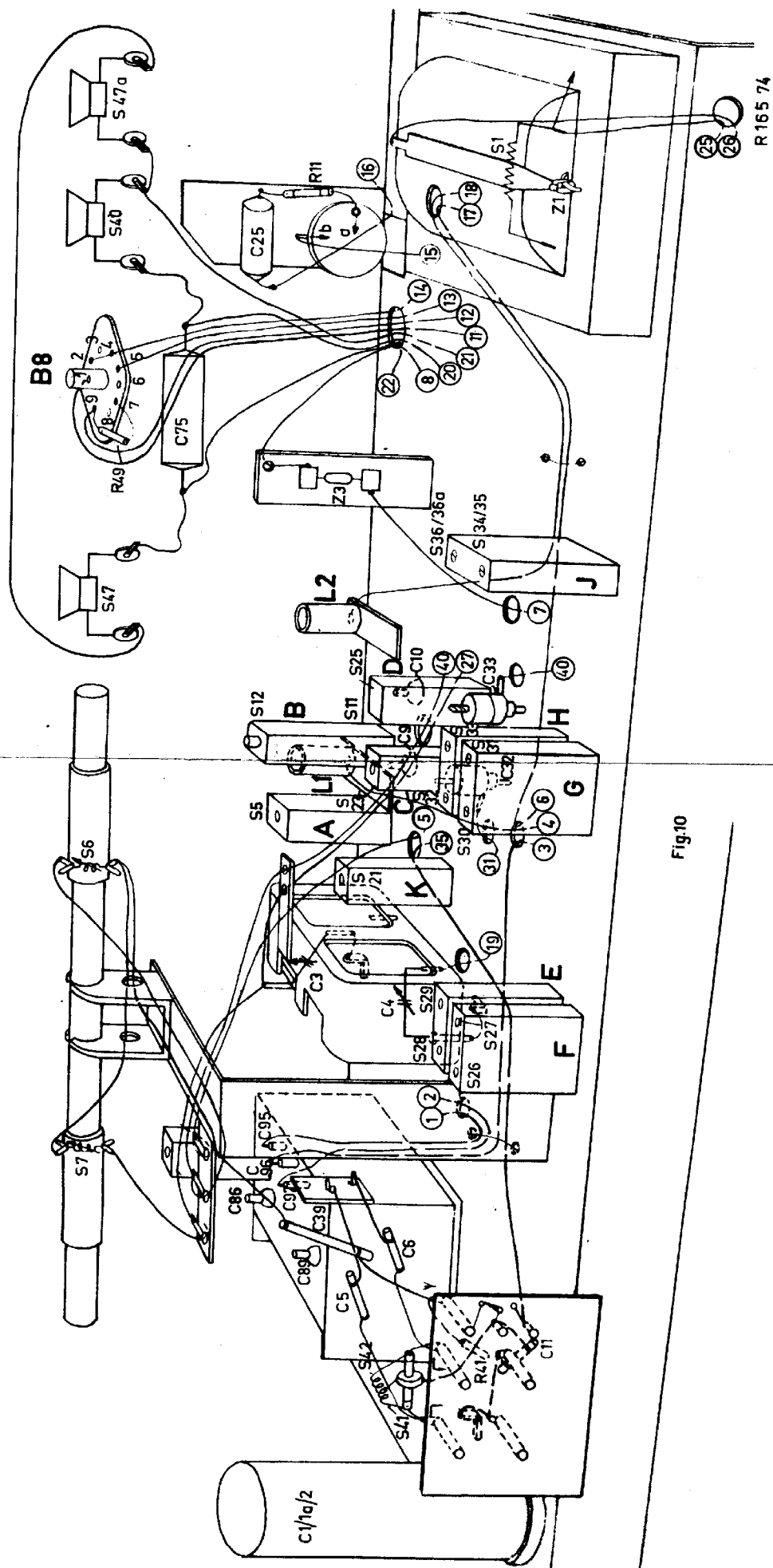


Fig.10